

〔苏联〕 A·H·阿巴施泽 著  
金 布 敏 撰  
活 世 达 校

# 汽轮机基座动力学

中国工业出版社

# 汽 輸 机 基 座 动 力 學

[苏联] A·И·阿巴施泽 著  
金 潘 辅 敏 譯  
潘 世 达 校

本书闡述作者根据理論和試驗而拟定的，汽輪发电机构架式混凝土基座的振动和强度計算新方法，以及这些基座的实物試驗問題。

本书供从事火力发电厂設計、施工和运行的工程师和技术員閱讀。

А.И.Абашидзе  
ДИНАМИКА ФУНДАМЕНТОВ  
ПАРОВЫХ ТУРБИН

ГОСЭНЕРГОИЗДАТ МОСКВА 1960

\* \* \*

汽輪机基座动力学

金 輔 敏譯

潘 世 达 校

\*

水利电力部办公厅图书編輯部編輯（北京京外月坛南街房）

中国工业出版社出版（北京崇文区崇文门10号）

（北京市书刊出版事业局可证出字第110号）

中国工业出版社第二印刷厂印刷

新华书店北京发行所发行。各地新华书店經售

\*

开本787×1092毫米·印張4 3/16·字数90,000

1964年3月北京第一版·1964年3月北京第一次印刷

印数0001—3,361·定价(科七)0.65元

\*

统一书号：15165·2902(水电-393)

近代汽輪发电机的基座是一項复杂的构筑物，对它有影响的不仅是汽輪发电机重量的靜力荷載，而且还有运行时产生的动力荷載。这种基座的計算是火力发电厂构筑物全部設計中极重要的阶段。

現在，所有的基座計算方法是以少量試驗資料为基础的，而且这些資料是在小型机組上試驗取得的，此外，所采用的測量仪表也不完善；所以它不能真实地反映出基座的实际工作情况。

本书闡明了我們拟定的基座計算方法，这种方法估計到基座工作的实际条件。这种計算方法是以梯比利斯建筑及水力科学研究院\* (ТНИСГЭИ) 所进行的理論和試驗研究作为根据的。无论是在現有发电厂的汽輪发电机上，或在實驗室条件下都进行了試驗。

作者对梯比利斯建筑及水力科学院的工作人员 П. A. 古凡捷技术科学副博士和 B. Φ. 罗西捷工程师，在編著本书时給予的直接帮助，以及对 C. A. 别倫斯坦提出宝贵意見和参加校訂工作深表感謝。

### 作 者

---

\* 该院以 A.B. 維吉爾命名，下同。——譯者

# 目 录

|                  |     |
|------------------|-----|
| 前言               |     |
| 緒論               | 1   |
| 第一章 試驗研究         | 8   |
| 1. 試驗方法和設備       | 8   |
| 2. 實物試驗          | 17  |
| 第二章 計算方法的基本原理    | 34  |
| 3. 確定固有振動頻率的計算簡圖 | 34  |
| 4. 振動系數          | 43  |
| 5. 干擾力和動力荷載      | 51  |
| 第三章 基座計算         | 63  |
| 6. 確定位移的新方法      | 63  |
| 7. 用分解法確定固有振動頻率  | 77  |
| 8. 基座結構的動力計算     | 91  |
| 9. 构造要求          | 97  |
| 第四章 計算实例         | 100 |
| 10. 基座的幾何特性和靜荷載  | 100 |
| 11. 固有垂直振動頻率的確定  | 103 |
| 12. 固有水平振動頻率的確定  | 106 |
| 13. 縱向固有振動頻率的確定  | 111 |
| 14. 縱梁共振的驗算      | 117 |
| 15. 發電機下面縱梁共振的驗算 | 120 |
| 16. 干擾力和其撓度      | 120 |
| 17. 強迫振動的計算      | 123 |
| 18. 強度計算時採取的荷載   | 126 |
| 參考文獻             | 129 |

汽輪发电机基座不但承受靜力荷載，而且承受動力荷載，后者當汽輪发电机基座在共振區運行時須特別考慮。最初，考慮基座動力作用的方法是在計算時將汽輪发电机的重量增加四倍（文獻 1）。這種計算方法雖然迫使建成的基座很龐大，但是在採用低速汽輪发电机組（1500 轉/分以下）的一段時間內還是採用了。因為用這種方法計算的基座，其固有振動頻率與機組工作轉速相差很大，因而未出現過共振現象。隨著汽輪機組轉速的增加，基座開始出現共振。在這種情況下就必須對基座進行動力計算。就這一點發表著作的有海格爾、愛賴爾斯、貝也爾等人。其中某些用俄文翻譯刊登在 E.Л. 尼古拉校訂出版的匯編中（文獻 2）。

在 1930 ~ 1931 年，A. 斯比爾蓋爾曾提出基座固有振動計算方法（文獻 3）。在 1933 年發表了 E.Л. 尼古拉的著作（文獻 4），他對構架式基座固有水平振動的頻率提出了比較簡便的計算方法，這個方法與 A. 斯比爾蓋爾所提方法不一樣，它不需要進行繁重的計算。在 A.И. 羅萊的著作中所介紹的確定構架式基座固有振動頻率的計算方法，它考慮了地基的彈性（文獻 5）。1934 年，E.А. 所羅維夫根據以往的試驗研究發表了汽輪发电机基座的系統化計算方法（文獻 6），它包括強度計算和共振校驗兩部分。此後，接着進行了一系列的試驗研究，其中包括 H.П. 巴夫留克、И.Л. 柯欽斯基、О.А. 薩維諾夫（文獻 7 和 8），其目的在於更明確說明鋼筋混凝土結構因動荷載作用而產生的一些問題，以及查明其物理特性，

吸收系数 $\eta$ 和弹性模数 $E$ 等的数值。

由于缺少足够的计算干扰力的试验资料，故无法进行强迫振动计算，而仅对共振进行校核。继续进行试验的目的是使计算方法更趋准确，对计算作一些校正和记录干扰力值（虽是一次近似值）。这种试验是Д.Д.巴尔坎（文献9），С.Г.阿尼基和В.В.马卡利切夫（文献10和11）在运行的汽轮机组上进行的。1948年根据这些试验研究曾采取基座强迫振动的计算方法，依照这种方法容许基座在共振条件下工作，只是其强迫振动的振幅不超过容许值。

简言之，汽轮发电机基座计算方法的发展道路就是这样。

虽然不校核共振，而对强迫振动进行计算，使基座的计算前进一大步；可是决不能说这就是现代的基座计算方法。

现有的计算方法是以数目不多的、基本上属于小型机组或中容量机组的基座的试验研究为根据的。进行这些试验研究时所采用的测量仪表是不完善的，振幅仅在单独几个点上测量，也没有对振动相位进行记录。基座固有振动频谱的特性资料也没有。由于这些原因，就不可能正确提供基座在动力荷载下的工作情况。

根据这种方法算出的基座结构很笨重，而且需要过多耗费材料。尽管如此，在用这种计算方法设计出的基座上仍然出现过基座结构构件的共振现象。计算结果不但与实际情形不符，而且有时还会获得相反的结论。我们知道，汽轮发电机基座是现代火力发电厂极重要的构筑物。随着50000~100000瓩容量的汽轮发电机投入运行，作为构筑物的基座，其重要性愈益显著。因为基座结构的质量和施工的正确性无论对汽轮发电机的正常运行，或其使用期限都有决定性的意

义。此外，如果基座的結構設計得好，不仅能減小体积，而且能縮短施工日期，同时由于基座內有較大的空間尺寸，因而能保証管道及輔助設備在安装和运行时順利进行工作。

为了拟定正确的、考慮到动力荷載的基座計算方法，首先須重新考慮計算原理，为了实现这一点，就必须在运行的汽輪机组上进行試驗研究。梯比利斯建筑及水力科学研究院的研究小组在本书作者的领导下曾进行了这些試驗。无论在具备容量为4000~100000瓩机組的現有火力发电厂內，或在专门建立的汽輪机組的模型和基座的振动台上，都进行了依照我們拟定的方法試驗。这些試驗所采用的具有高度精确性和灵敏度的現代化电子測量仪表，可以发现和說明过去研究人員所疏忽的一系列現象。

为了整理所得的試驗資料，曾采取了数学統計法，通过这种方法所得的資料既很可靠，也具有較好的理論根据。

根据所整理的資料，提出了一种新的基座計算方法。这种方法沒有前述方法的缺点，且十分符合試驗資料，并能保証基座的工作可靠性。此外在施工时不需要过多耗費材料。

这种計算方法曾被研究和采納作为設計汽輪发电机基座时的基本方法。

现代化的大型汽輪发电机的基座通常用鋼筋混凝土建成，采用鋼筋混凝土，可使构件成一个整体結構，便于基座构件制成任何形状，并能控制基座质量的分布。所有这一切就使基座結構具有一定的动力可靠性。同时建筑鋼筋混凝土基座时金属的耗量比建筑金属基座时要少。建筑这些基座的缺点是：鋼筋工程和混凝土工程需要很多劳动力，施工期限长而且結構构件尺寸大。

建筑基座的另一种材料是金属。金属基座质輕，施工日

期比鋼筋混凝土基座短得多。其主要缺点是金属耗量多。

由于现代在装配式钢筋混凝土方面所取得的科学成就，因而有可能提出建造装配式钢筋混凝土基座课题。这种基座具有金属基座和钢筋混凝土基座的全部优点。目前有一组工程师在我们的领导下结束容量为15万瓩汽轮发电机的装配式钢筋混凝土基座的设计。这种基座的结构构件是空心的，这样就能通过用混凝土浇灌空洞的方法来改变其质量，从而能部分地调整基座的动力工作情况。

在汽轮机开始运用的一段时间内，当时汽轮机组容量不大，基座是用砖砌筑的。砖基座结构简单，由两道平行的重力墙组成，在墙上放置支承汽轮发电机的金属梁，凝汽器放在两墙之间的地方。砖基座不象钢筋混凝土基座和金属基座一样能有效地承受动力荷载，特别是水平动力荷载。由于砖基座不具备钢筋混凝土基座所具备的性质，所以它们未能得到进一步的发展，只运用在容量不超过6000瓩的汽轮发电机上。

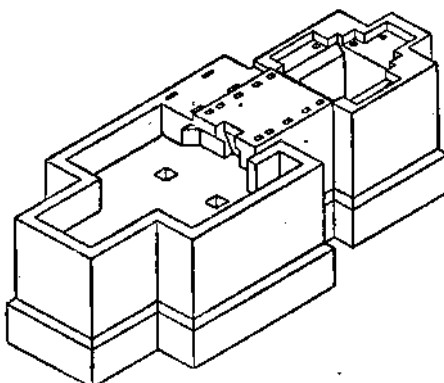


图 1 汽轮发电机大块式机座全图

根据汽輪发电机的布置，基座在結構方面可划分为下列两类：无地下室的和有地下室的。通常为小容量汽輪发电机建造的大块式基座(图 1)首先属于无地下室的基座。墙式結構和构架式結構的基座为有地下室的基座。这类基座的特征是地上部分高度达8~9米。

汽輪机組安装在上部基座板上。凝汽器和管道通常布置在上部和下部基座板之間的間隔內。墙式基座由若干横向及纵向安置的承重牆构成。汽輪机組通过牆壁傳給下部基座底板，下部基座底板再将荷載沿土壤分布。在构架式基座內荷載由上部基座板通过构架立柱傳至下部基座板。

图 2 内示出容量为25000瓩汽輪发电机的墙式結構基座。基座为鋼筋混凝土的，由两道用橫牆或框架連接的纵牆构成。在支承汽輪机和发电机的框架之間安置凝汽器。基座地上部分高度为 8.7 米。全部基座結構由 2 米厚的巨大鋼筋混凝土板来承托。

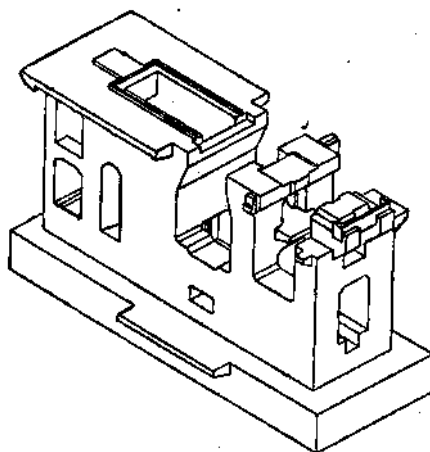


图 2 墙式結構基座全图

容量为35000瓩汽輪发电机的构架式基座(图3)由四个用纵梁联結的鋼筋混凝土橫框架构成。基座具有1.8米厚的鋼筋混凝土底板。构架式基座比牆式基座完善。由于构架式基座比牆式占地少，因而有很多空間可用来布置輔助設備。构架式結構的材料耗量較之牆式少。但是，牆式基座在其平面方向，其剛度比框架强，因而具有較高的远离汽輪发电机工作轉速的固有振动頻率。

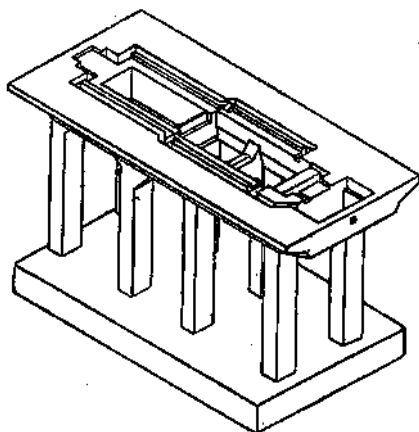


图3 构架式基座全图

由于考虑了振动情况，也考虑了結構情况，就使各种不同結構的基座得到发展，在这种情况下因而出現了构架-牆式混合結構的基座。

图4內示出容量为50000瓩的汽輪发电机的混合結構基座。在这种基座的結構中，发电机下面部分为纵牆和横牆体系。

容量为100000瓩的汽輪发电机的基座示于图8內。这种此为试读，需要完整PDF请访问：[www.ertongbook.com](http://www.ertongbook.com)

基座，虽然具有巨大的支柱，仍应属于构架式。这种基座的发电机下面部分横框架之间的纵梁得到很大发展。由于该种基座具有高次超静定，因而有利于构件之间荷载的重行分布。

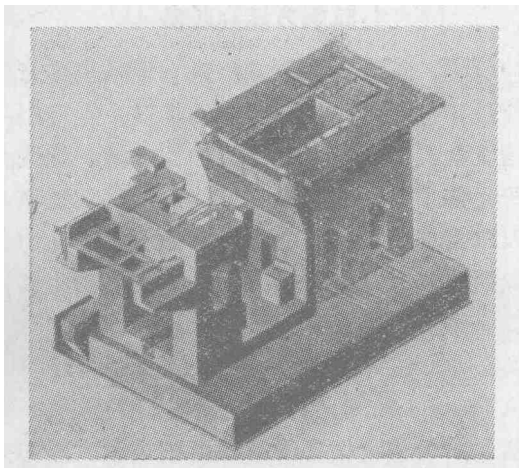


图4 容量为5万瓩的汽輪发电机的混合結構基座

以上叙述的构架式基座的全部情况，说明它比其他各种型式的基座优越。因此能说，在汽轮机制造发展的现代条件下，这类基座是最有效最适合的结构。

# 第一章 試驗研究

## 1. 試驗方法和設備

如緒論所述，正確的計算方法只有根據很多充分說明基座在動力荷載作用下工作性質的試驗資料才能得出，所以在運行的汽輪發電機的基座上進行了一些試驗。這些試驗的目的首先是研究整個基座或其各不同構件，在隨頻率與振幅而變化的及因汽輪發電機轉子的不平衡而引起的動力荷載作用下的振動性質；其次是查明基座本身的主要動力特性，為此錄下基座固有振動頻譜。

振幅和振動相位利用蘇聯動力檢修公司設計的БИП-3型平衡測量儀（圖5）來測量。測量儀器的主要部分是測量元件，它包括專門的帶調相器的陰極射線式示波器和振動發送器。發送器（圖6）具有環形磁鐵1，其內裝置圓柱形鐵芯2。在芯筒上套上極靴3。在鐵芯和極靴之間的間隙中放置吊在兩個彈簧5上的線圈4。

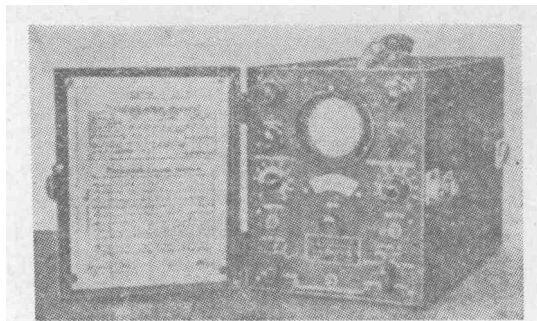


圖5 БИП-3型平衡測量儀的全圖

測量順序叙述于下。将发送器放置在振动面上。在振动时发送器产生与振动速度成比例的电动势，电动势在改变，同时通过积分电路送至电子射线管的放大板。

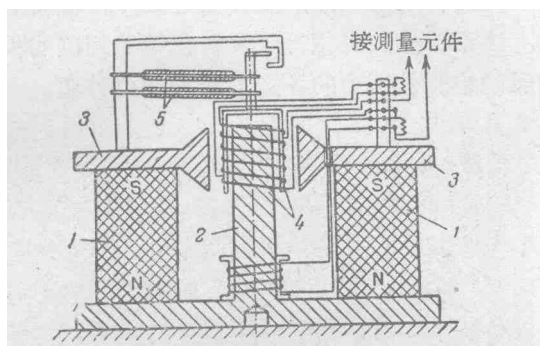


图 6 BIPI-3测量仪的发送器

在示波器屏上出現与所研究振动形式相符的电动势振动波形。电动势振幅是由示波器屏的刻度标測得的，并且利用其比例刻度标来确定此点的振幅。为了取得比例刻度标，将仪表放在振动台上校准。校准結果在其說明书中加以說明。

这种仪表可测定振动时的振动频率、速度和加速度。

上述仪表的主要优点是能测定振动面各点的相对振动相位移。相位移可用两种方法测定：

第一种方法是利用相位发送器(图 7)和相位表所組成的同步結綫系統；在这种情况下同步机的轉子与汽輪发电机轉子机械相连；

第二种方法的結綫系統与上同，但利用所研究的汽輪机组的发电机靜子来代替相位发送器。振动发送器产生的电动势傳至示波器管。来自同步发送器或发电机的电动势也送至此管。这些电动势具有相同的頻率，但隨相位移动，因此在

示波器屏上形成李沙育波形。旋转调相器，使李沙育波形变为通过示波器刻度标第一和第三象限的直线。在调相器刻度标上取得读数，它表示发电机转子与测量点之间相位的位移值。将发送器移至另一点，重复上述工序，能得另一相位移的数值。这不仅能测定相对于发电机转子相位的相位移值，而且还能确定测量振动的各点之间的相位移值。

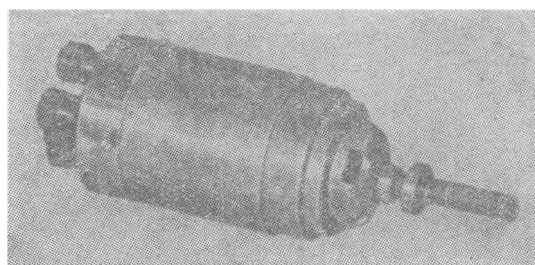


图 7 相位发送器

第一种测量系统可录下任何转数的相位移值，而第二种仅录下与50赫兹振动频率相当的发电机转数下的相位移值。振动发送器线圈的固有振动频率在8~10赫兹范围内。

该仪表可测量的振动参数在15~200赫兹的范围内，而测量位移的双倍振幅则在5~1200微米的范围内。在上述范围内位移幅度的测量误差应不大于±5%，而在最大放大系数时幅度读数的精确度为±1微米。相位移的测量误差不超过±3°。

在转子转速由900至3000转/分分级变化时，每隔300转/分测量一次基座和其结构、构件的振幅和振动相位。在个别情况下是在转子转速超过工作速度（达3200转/分）时进行测量的。

振动是沿着柱高，悬臂上纵梁和横梁的长度以及柱子底

部的底板来进行测量的。若柱子之間具有附加联杆时，还須测量这些联杆的振动。图 8 内示有容量为 10 万瓩的汽輪发电机的基座，其上标出各振动测量点。

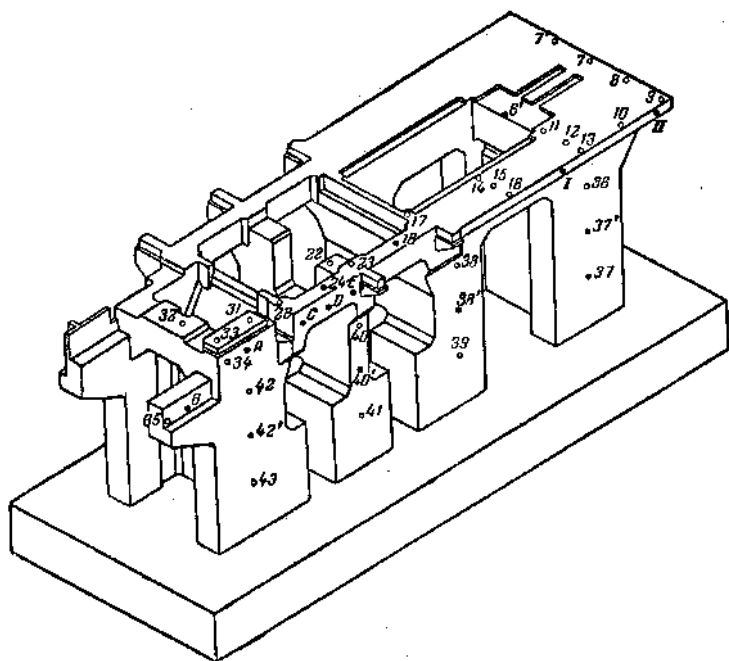


表 1 汽輪发电机軸承和基座的振动測量記錄表